

Maxwell-Gleichungen

Faradays Induktionsgesetz:

$$\oint \vec{E} \cdot d\vec{s} = - \dot{\Phi}_B$$

$$\dot{B} \rightarrow E, \quad \dot{E} \rightarrow B?$$

James

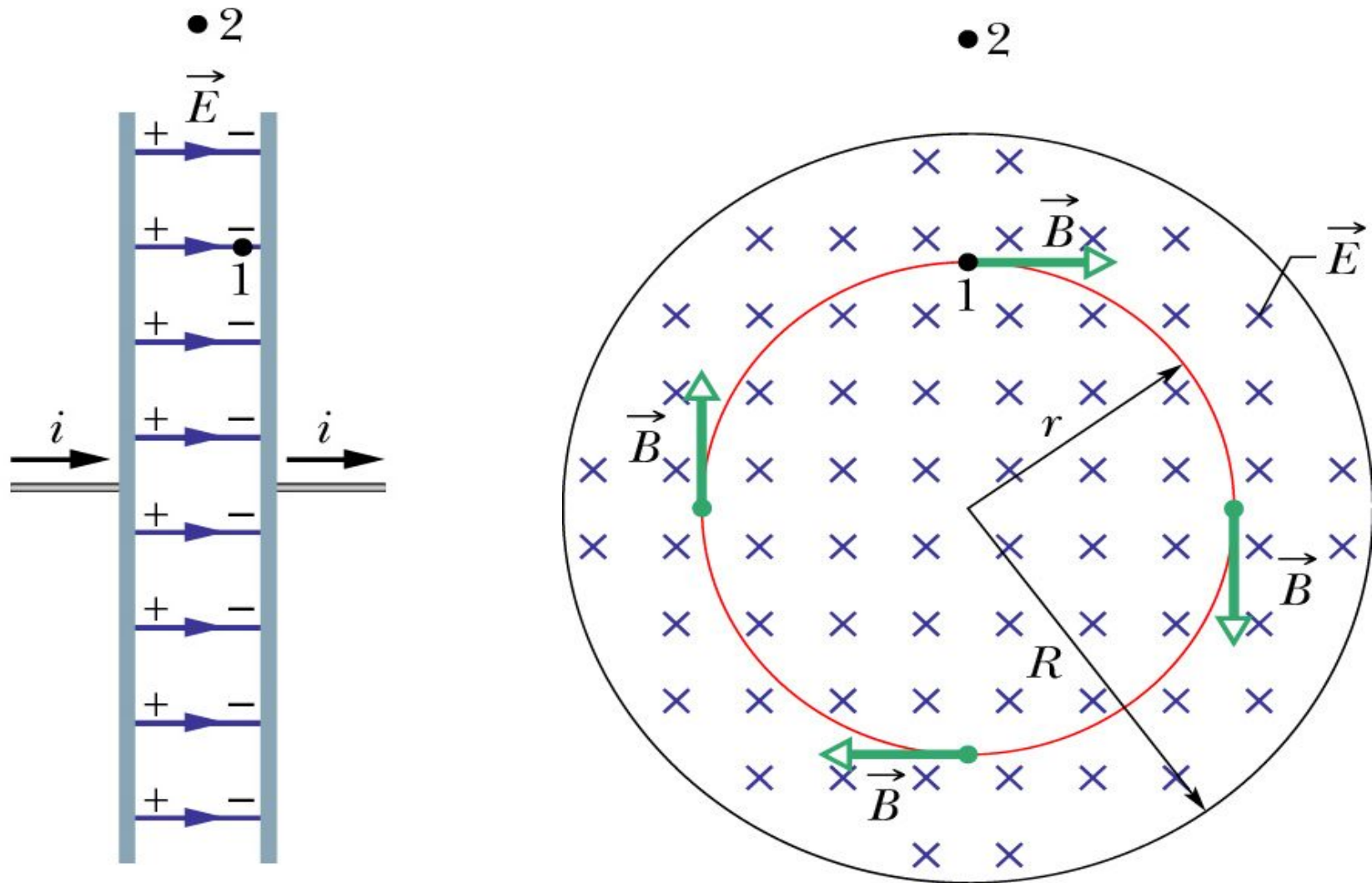
Clerk	Maxwell
Vater	Mutter

Maxwell's Induktionsgesetz:

$$\oint \vec{B} d\vec{s} = \mu_0 i + \mu_0 \epsilon_0 \dot{\Phi}_E$$

Erinnerung an Faradaysches Induktionsgesetz:

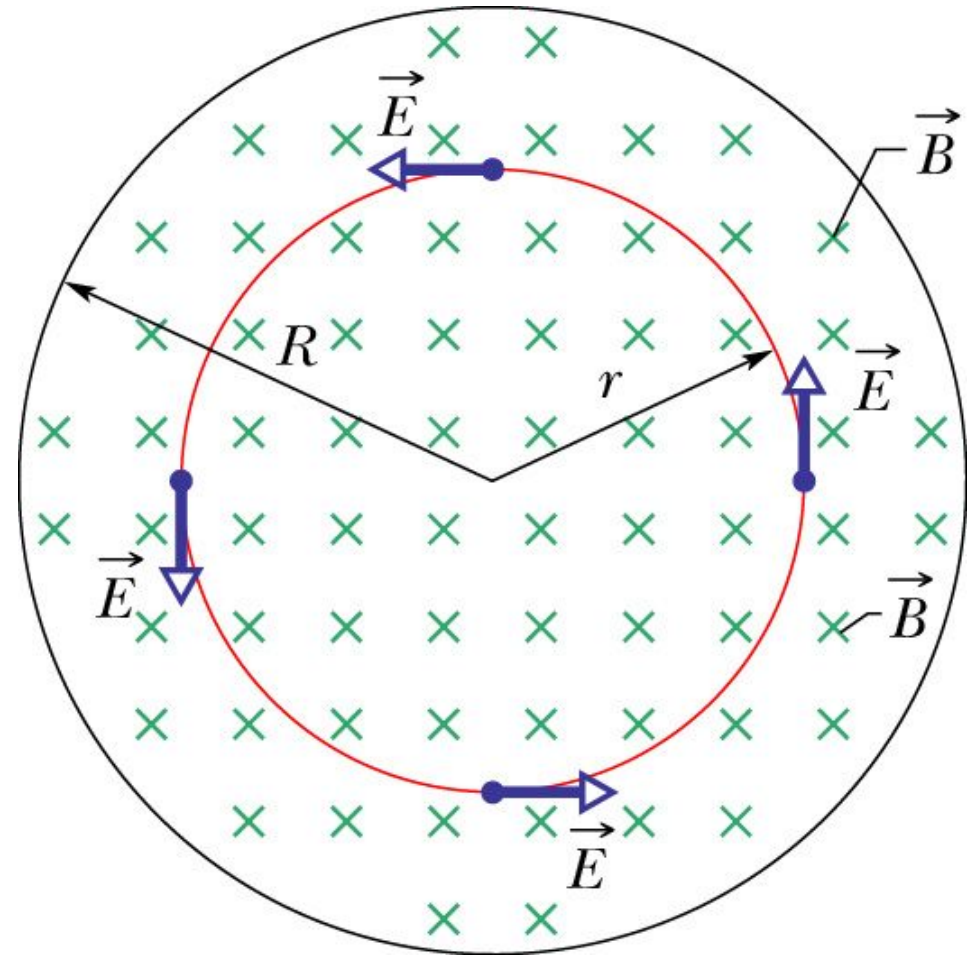
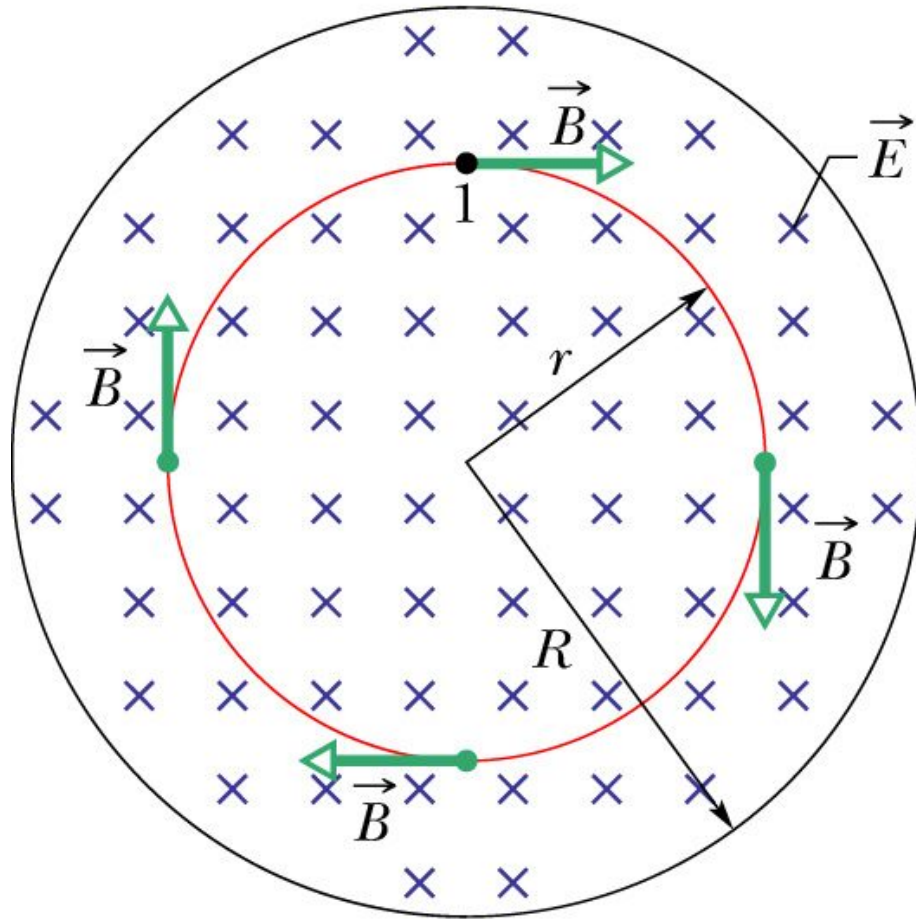
sich ändernder magnetischer Fluss ergibt Zirkulation von \vec{E}



Maxwellsches Induktionsgesetz:

sich ändernder elektrischer Fluss ergibt Zirkulation von B

•2



$$\oint \vec{B} \cdot d\vec{s} = \mu_0 i \rightarrow \oint \vec{B} \cdot d\vec{s} = \mu_0 i + \underbrace{\mu_0 \epsilon_0 \dot{\Phi}_E}$$

(fiktiven) Verschiebungsstrom
 i_v

Plattenkondensator

$$q = \epsilon_0 A E$$

$$\textcircled{1} \dot{q} = i = \epsilon_0 A \dot{E}$$

$$\textcircled{2} i_v = \epsilon_0 \dot{\Phi}_E = \epsilon_0 \frac{d}{dt}(E A) = \epsilon_0 A \dot{E}$$

$$\Rightarrow i = i_v$$

Grundgleichungen des Elektromagnetismus

$$\oint \vec{E} d\vec{A} = \frac{Q_{\text{innen}}}{\epsilon_0}$$

Ladungen = Quellen
des E-Felds

$$\oint \vec{B} d\vec{A} = 0$$

geschlossene Feldlinien
keine Quellen des B-Felds

$$\oint \vec{E} d\vec{s} = -\dot{\Phi}_B$$

$\dot{\Phi}_B \rightarrow$ Wirbel des E-Felds

$$\oint \vec{B} d\vec{s} = \mu_0 \epsilon_0 \dot{\Phi}_E + \mu_0 i$$

$\dot{\Phi}_E, i \rightarrow$ Wirbel des
B-Felds

(Integralform)

$$\int_A \vec{F} \cdot d\vec{A} = \int_V \operatorname{div} \vec{F} \, dV \quad (\text{Gauß})$$

$$\int_A \vec{E} \cdot d\vec{A} = \int_V \operatorname{div} \vec{E} \, dV = \frac{q_{\text{innen}}}{\epsilon_0}$$

$V \rightarrow 0$ $V \operatorname{div} \vec{E}$ qV/ϵ_0

$$\Rightarrow \operatorname{div} \vec{E} = \frac{\rho}{\epsilon_0} \quad \text{diff. Form}$$

$$\operatorname{div} \vec{B} = 0$$

Stokes: $\oint_C \vec{A} \cdot d\vec{r} = \int_A \text{rot } \vec{A} \cdot d\vec{A}$

$C = \text{Rand von } A$

$$\oint_C \vec{A} \cdot d\vec{r} = \int_A \text{rot } \vec{A} \cdot d\vec{A} = -\dot{\Phi}_B = -\frac{d}{dt} \int_B d\vec{A}$$

$A \rightarrow 0$

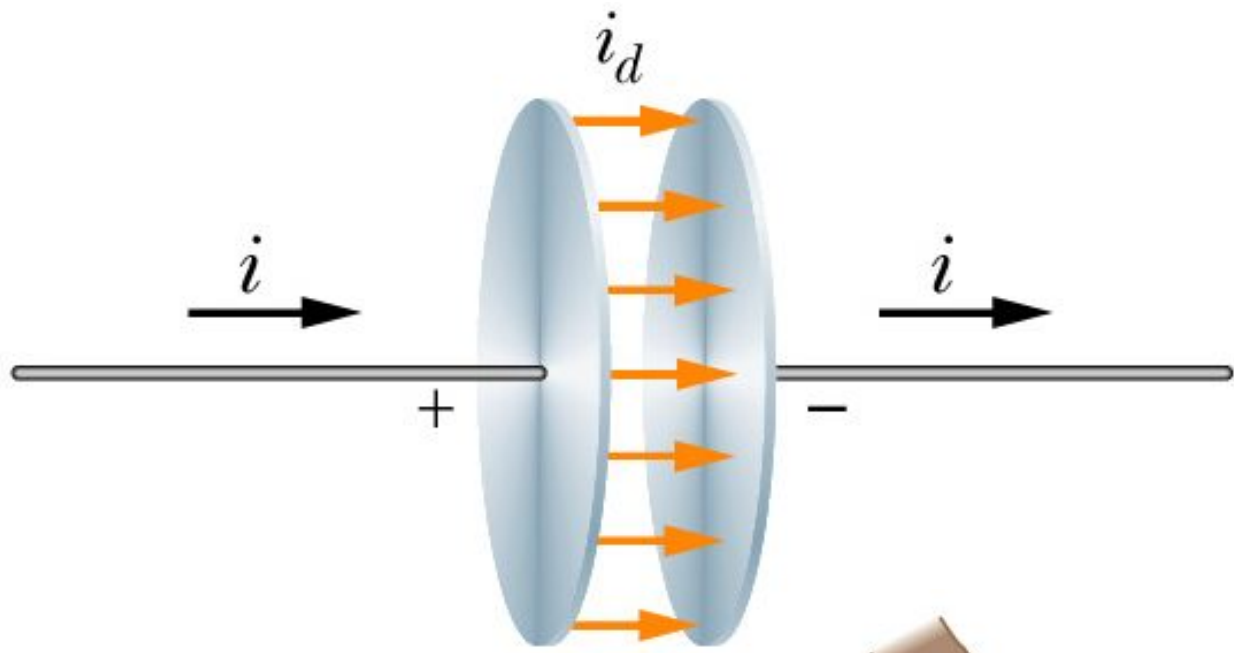
$$\Rightarrow \text{rot } \vec{A} = -\dot{\vec{B}}$$

$$\oint_B d\vec{r} = \int \text{rot } \vec{B} \cdot d\vec{A} = \mu_0 \epsilon_0 \dot{\Phi}_E + \mu_0 \dot{i}$$

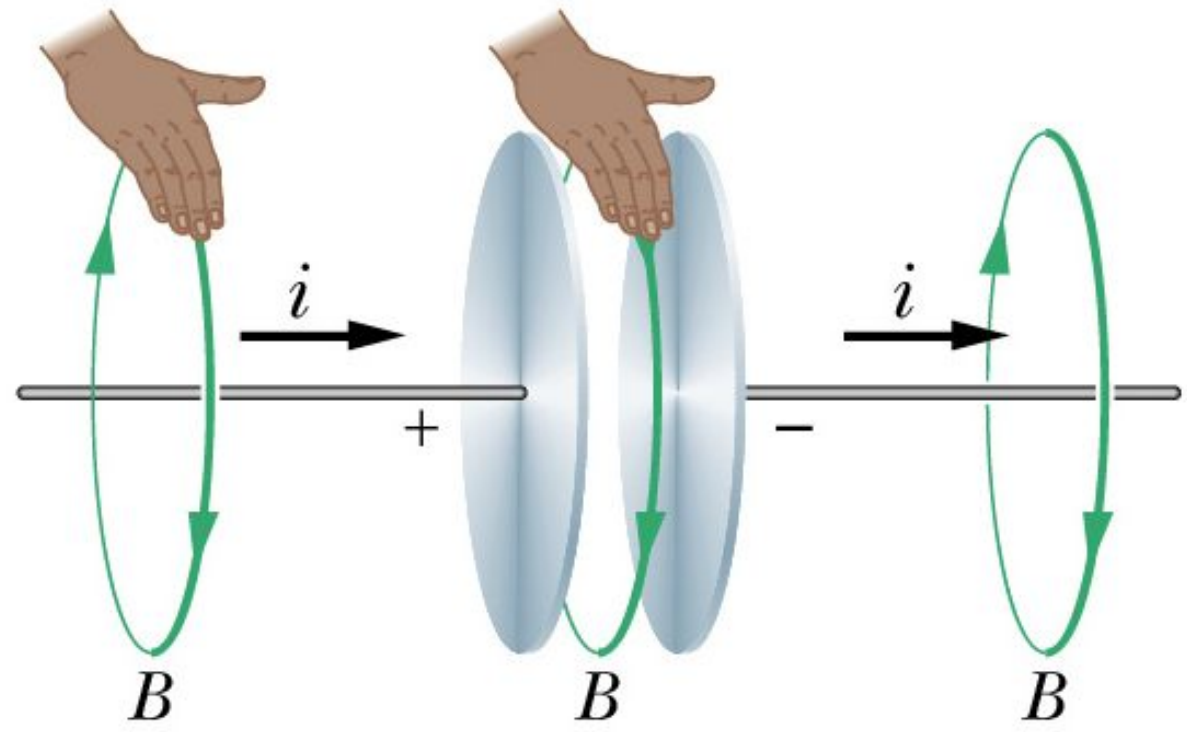
$$= \mu_0 \left(\frac{d}{dt} \int \epsilon_0 \vec{E} \cdot d\vec{A} + \int \dot{j} \cdot d\vec{A} \right)$$

$A \rightarrow \neq 0$

$$\text{rot } \vec{B} = \mu_0 (\epsilon_0 \dot{\vec{E}} + \dot{\vec{j}})$$



displacement current



Field due to current i

Field due to current i_d

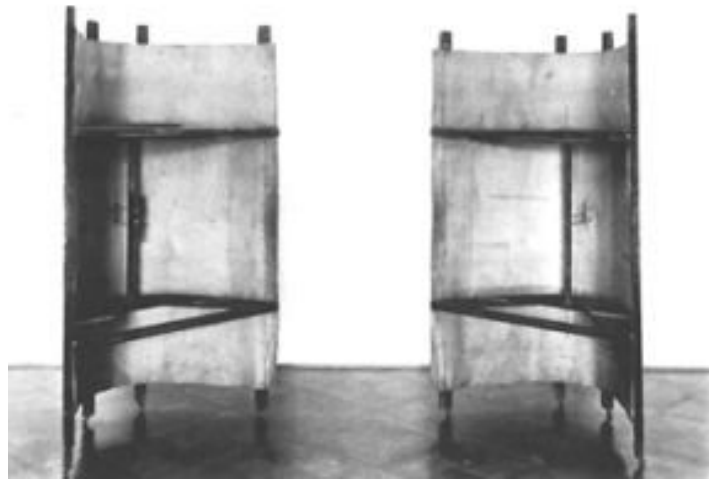
Field due to current i

EM Wellen



Heinrich Hertz und Frau Elizabeth
1886

chem.ch.huji.ac.il/history/hertz.htm



Hertz's transmitter
and receiver, 1886

Heinrich Rudolf Hertz

* 22.2.1857 in Hamburg

1883 - 85 Privatdozent an der CAU

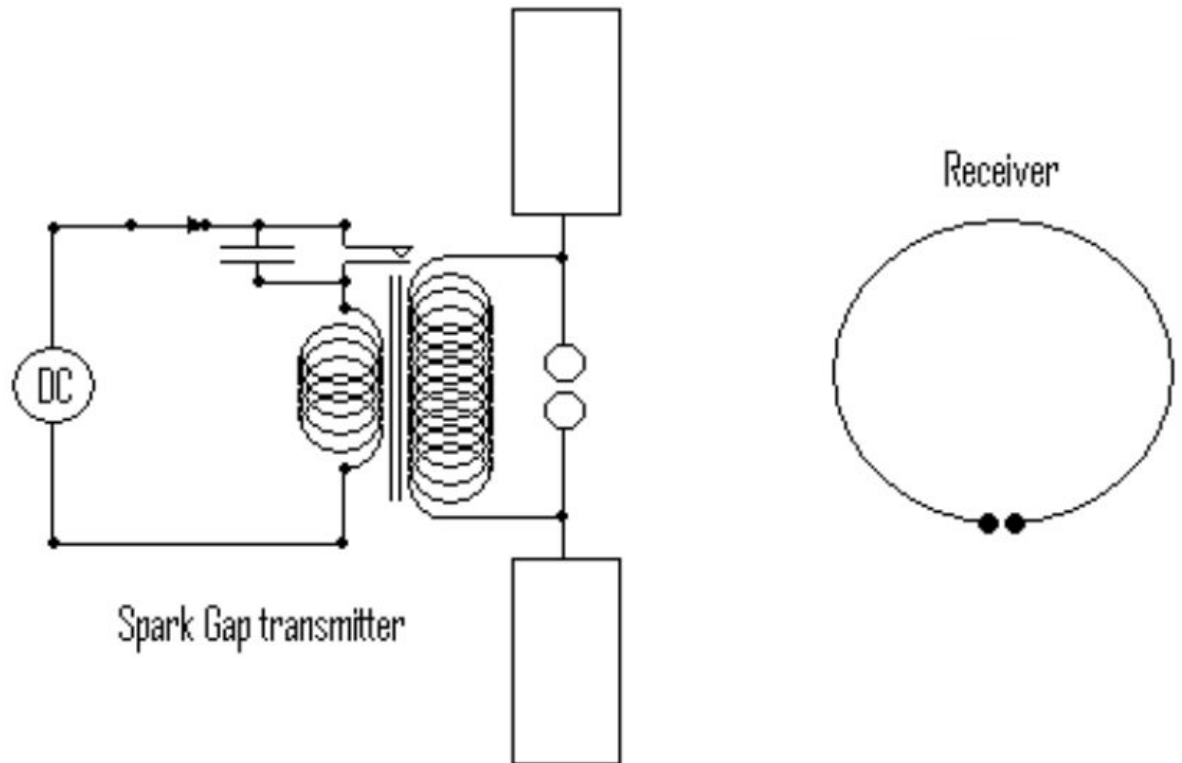
† 1.1. 1894 in Bonn

experimentelle Beobachtung von Radiowellen

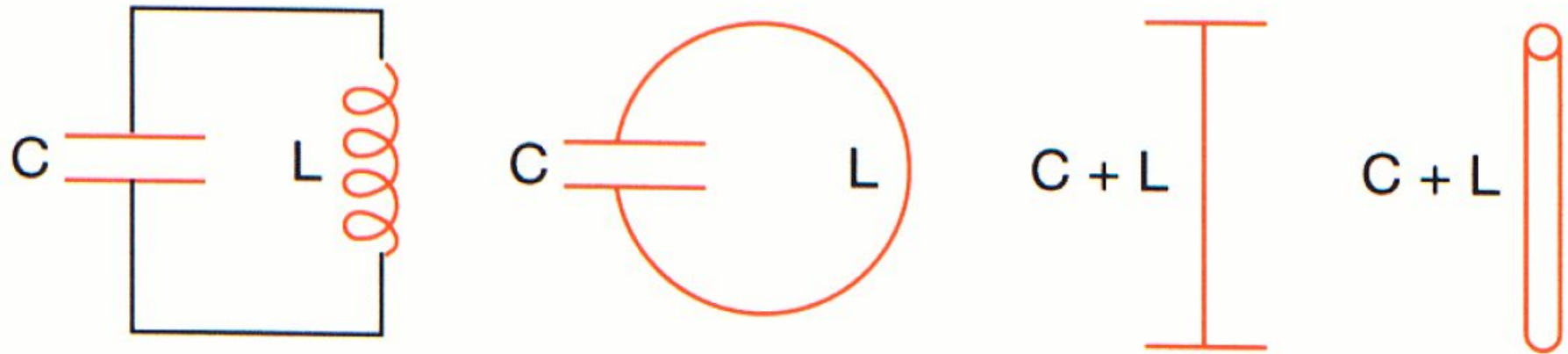
erzeugt mit Funkeninduktor

stehende Wellen mit Zinkspiegel

nachgewiesen mit Dipoldetektor



Hertzscher Dipol

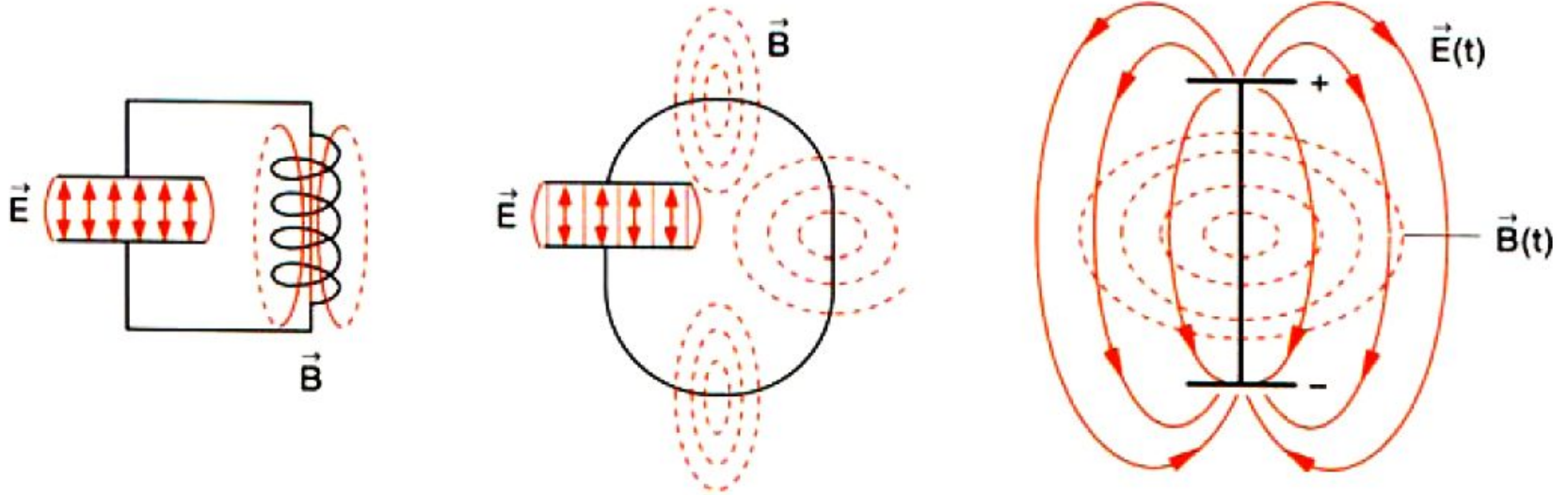


Induktivität = Länge * (Induktivität / Länge)

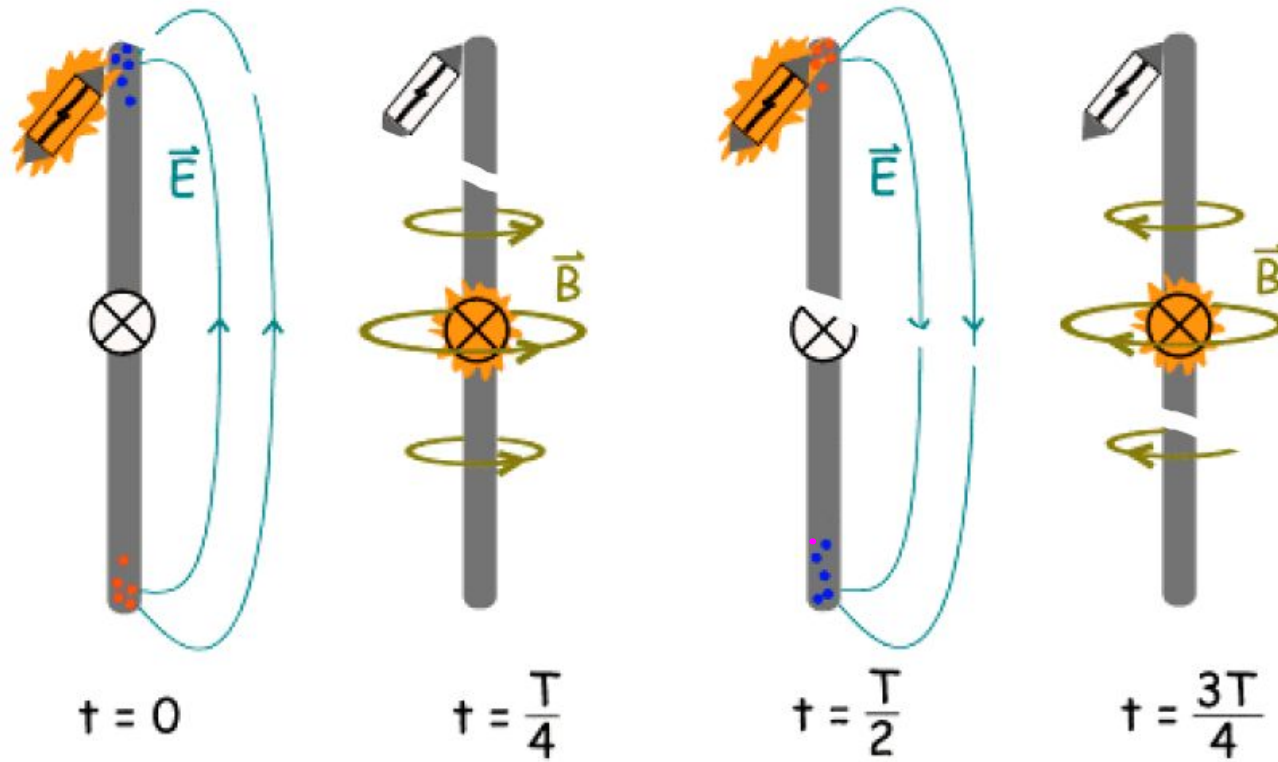
Kapazität = Länge * (Kapazität / Länge) * Permeabilitätszahl

$$\omega = \frac{1}{l} \frac{1}{\sqrt{\epsilon_r}} \frac{1}{\sqrt{L C}}$$

E und B-Feld

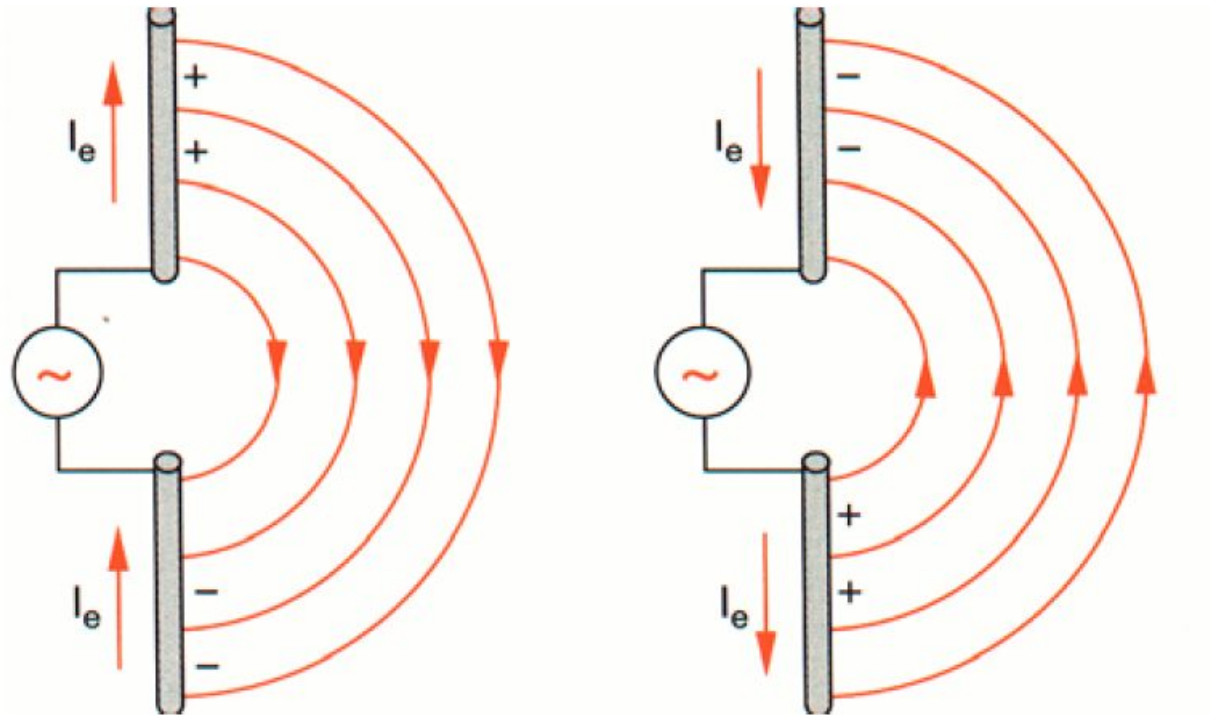


Strom und Ladung



Erzwungene Schwingung

Dämpfung durch Drahtwiderstand und Abstrahlung

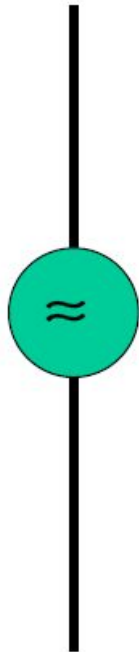


Funke = Deltapuls

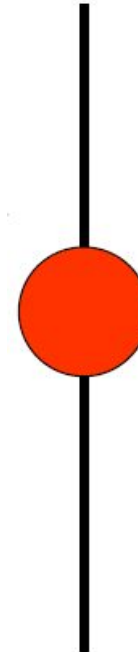
Resonanz

Sender und Empfänger auf gleiche Frequenz abgestimmt

Sender



Empfänger



z. B. 125 MHz: $\lambda = 2,4$ m, Antenne z. B. $\lambda/2$ (gestreckter Dipol)

Wellen in Mechanik:

(obdA Laufricht. x)

$$y(x,t) = \tilde{y} \sin(kx - \omega t) \quad \text{"Auslenkung" eines Mediums}$$

$$\frac{\partial^2 y}{\partial x^2} = \frac{1}{c^2} \frac{\partial^2 y}{\partial t^2} \quad ; \quad c = \frac{\omega}{k}$$

Jetzt: EM Wellen im Vakuum (!)

$$\rho = 0 \quad j = 0$$

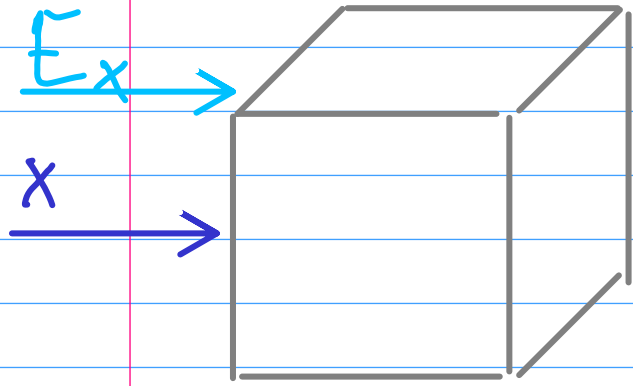
$$\oint \vec{E} \cdot d\vec{A} = 0 \quad (1)$$

$$\oint \vec{E} \cdot d\vec{s} = -\dot{\Phi}_B \quad (3)$$

$$\oint \vec{B} \cdot d\vec{A} = 0 \quad (2)$$

$$\oint \vec{B} \cdot d\vec{s} = \mu_0 \epsilon_0 \dot{\Phi}_E \quad (4)$$

Nutze ①



(a) E_y & E_z sind jeweils gleich auf Flächen vorn & hinten, weil Welle in x läuft.

Oberflächennormalen zeigen aber jeweils in entgegengesetzte Richtungen

\Rightarrow Beitrag dieser Flächen zu $\oint E \cdot dA$ ist Null.

(b) E_x ist nur links & rechts \parallel Normale

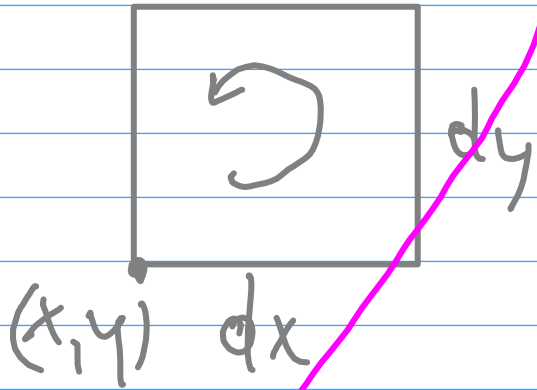
\Rightarrow Damit $\oint E \cdot dA = 0$ müssen E_x links & rechts gleich sein $\Rightarrow E_x = 0$ (wenn es eine Welle sein soll) $\Rightarrow E$ -Feld transversal

Also Ansatz:

$$E_y = E_y^{\text{R}} \sin\left(\omega\left(t - \frac{x}{c}\right)\right)$$

Nutze ②

$$\oint \vec{E} \cdot d\vec{s} = -\dot{\Phi}_B$$



$$\begin{aligned} \oint \vec{E} \cdot d\vec{s} &= E_y(x+dx) dy - E_y(x) dy \\ &= \left(E_y(x) + \frac{\partial E_y}{\partial x} dx \right) dy - E_y(x) dy \end{aligned}$$

$$= \frac{\partial E_y}{\partial x} dx dy$$

$$\equiv - \frac{\partial}{\partial t} B_z \cdot dx dy$$

$$\Rightarrow \frac{\partial E_y}{\partial x} = - \frac{\partial B_z}{\partial t} \quad (*)$$

Gleiche Überlegung für Flächenelement
in x - z -Ebene:

$$E_y \perp dx, dy \Rightarrow \oint \vec{E} \cdot d\vec{s} = 0$$

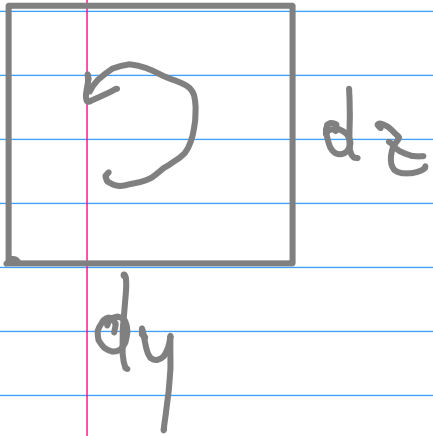
$$\Rightarrow \frac{\partial B_y}{\partial t} dx dz = 0$$

mit MWG ③

Damit eine Wellenlösung
entsteht also $\dot{B}_y = 0$

Nutze weiter ③

y-z-Ebene



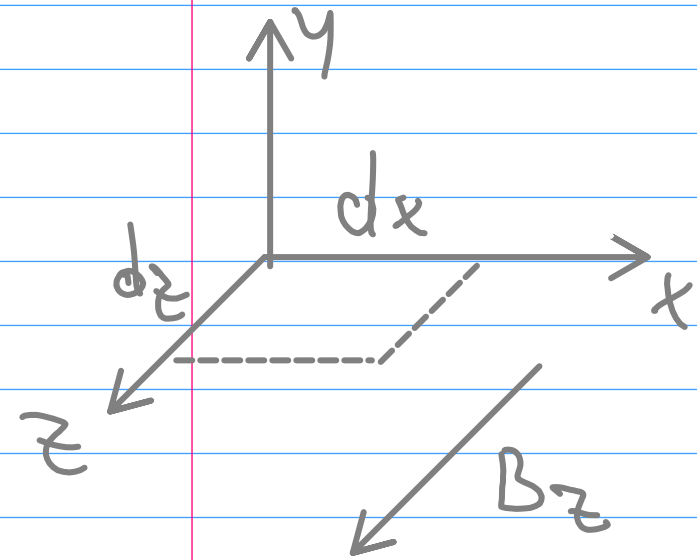
Welle läuft in x-Richtung

Also $E_y = \text{const}$ auf gesamtem
Flächenelement

\Rightarrow linke Seite von Gl. ③ ist Null

$$\Rightarrow dy dz \dot{B}_x = 0 \Rightarrow B_x = 0$$

Nutze ④ $\oint \vec{B} d\vec{s} = \mu_0 \epsilon_0 \dot{\Phi}_E$



$$\int \vec{B} d\vec{s} = B_z dz - \left(B_z + \frac{\partial B_z}{\partial x} dx \right) dz$$
$$= - \frac{\partial B_z}{\partial x} dx dz$$

$$\dot{\Phi}_E = \frac{d}{dt} (E_y dx dz)$$

mit obiger MWG. $\Rightarrow \frac{\partial B_z}{\partial x} = -\epsilon_0 \mu_0 \frac{\partial E_y}{\partial t}$ (**)

$$\frac{\partial}{\partial x} (*) : \quad \frac{\partial^2}{\partial x^2} E_y = - \frac{\partial^2}{\partial x \partial t} B_z$$

$$\frac{\partial}{\partial t} (**): \quad \frac{\partial^2}{\partial x \partial t} B_z = - \epsilon_0 \mu_0 \frac{\partial^2}{\partial t^2} E_y$$


$$\Rightarrow \frac{\partial^2 E_y}{\partial x^2} = \epsilon_0 \mu_0 \frac{\partial^2 E_y}{\partial t^2}$$

Wellengleichung für E_y
mit Phasengeschw.

$$c = \frac{1}{\sqrt{\epsilon_0 \mu_0}}$$

Analoge Gleichung für B_z :

$$\frac{\partial^2}{\partial x^2} B_z = \epsilon_0 \mu_0 \ddot{B}_z$$

Bestimme B_z aus (*):

$$\frac{\partial E_y}{\partial x} = -E_y \frac{1}{c} \omega \cos(\omega(t - \frac{x}{c})) = -\frac{\partial B_z}{\partial t} \quad | \int dt$$

$$\Rightarrow B_z = E_y \frac{1}{c} \sin(\omega(t - \frac{x}{c})) = \frac{1}{c} E_y$$

Also: • E, B in Phase

$$\bullet \frac{E_y}{B_z} = c = \frac{1}{\sqrt{\mu_0 \epsilon_0}}$$

Elektromagnetische Wellen: Eigenschaften

transversal, $\mathbf{k} \parallel (\mathbf{E} \times \mathbf{B})$

$1/c^2 = \mu_0 \epsilon_0$ unabhängig von ω (und v)

$\mathbf{E} \perp \mathbf{B}$

E, B in Phase

$E_y/B_z = c$ (Laufrichtung x angenommen)

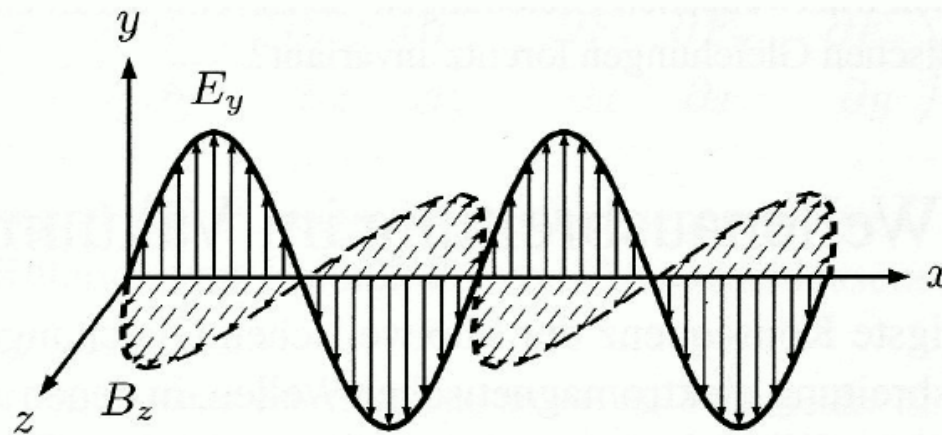


Bild 10.4: Harmonische, ebene elektromagnetische Welle in x -Richtung.

Ende der \sqrt{am}

2.6.20